

FRANCISZEK SZELAGOWSKI

JEDNOKIERUNKOWE ROZCIĄGANIE PIERSCIENIA KOŁOWEGO

ROZPRAWY  
INŻYNIERSKIE  
LII

$$\begin{aligned}
 (4) \quad R_{\theta} + iR_r &= \frac{1}{2} [2R_{\theta} + i(R_r - \theta_{\theta}) + i(R_r + \theta_{\theta})] = \\
 &= \frac{e^{2i\theta}}{2} [2X_y + i(X_x - Y_y)] + \frac{i}{2} (X_x + Y_y) = \frac{ip}{2} (1 - e^{2i\theta}) = \\
 &= \frac{ip}{2} \left(1 - \frac{e^{2\zeta}}{R_0^2}\right) = -\frac{i}{4} \Phi'(\zeta) + \frac{e^{2\zeta}}{2R_0^2} F(\zeta) + \frac{i}{4} [\Phi(\zeta) + \Phi_1(\zeta_1)],
 \end{aligned}$$

gdzie  $X_y$ ,  $X_x$  oraz  $Y_y$  oznaczają naprężenia w układzie współrzędnych prostokątnych.

Na wewnętrznym obwodzie pierścienia kołowego o promieniu  $R$ , wobec istnienia ośrodka sztywnego, wartości odpowiednich przemieszczeń  $v$  i  $u$  są równe zeru. Uwzględniając to założenie znajdziemy ze wzoru (3) drugi warunek brzegowy dla  $r = R$  w następującej postaci:

$$(5) \quad -ie^{\zeta} \Phi(\zeta) + ik \int \Phi_1(\zeta_1) e^{\zeta_1} d\zeta_1 + 2 \int F(\zeta) e^{\zeta} d\zeta = 0.$$

Ponieważ funkcje  $\Phi(\zeta)$  i  $F(\zeta)$  są holomorphyczne w obszarze pierścienia, więc mogą być przedstawione w postaci szeregow  $L a u r e n t a$ :

$$\Phi(\zeta) = a_0 + \sum a_n e^{n\zeta} + \sum b_n e^{-n\zeta},$$

$$F(\zeta) = c_0 + \sum c_n e^{n\zeta} + \sum d_n e^{-n\zeta}.$$

W rozpatrywanym zagadnieniu należy przyjąć tylko pewne wyrazy powyższych szeregów, mianowicie:

$$(6) \quad \Phi(\zeta) = a_0 + a_2 e^{2\zeta} + b_2 e^{-2\zeta},$$

$$(7) \quad \Phi_1(\zeta_1) = a_0 + a_2 e^{2\zeta_1} + b_2 e^{-2\zeta_1},$$

$$(8) \quad F(\zeta) = ic_0 + id_2 e^{-2\zeta} + id_4 e^{-4\zeta}.$$

Jak to wskazują obliczenia wstępne, współczynniki przy pozostałych wyrazach otrzymują wartości zerowe.

Po wprowadzeniu do wzorów (4) i (5) wartości funkcji  $\Phi(\zeta)$ ,  $\Phi_1(\zeta_1)$  i  $F(\zeta)$ , określonych wzorami (6), (7) i (8), otrzymujemy w wyniku odpowiednich działań sześć następujących równań:

$$\frac{d_2}{R_0^2} + a_0 = p, \quad -a_0 R^2 + ka_0 R^2 - 2d_2 = 0,$$

$$-\frac{a_2 R_0^2}{2} + c_0 + \frac{b_2}{2R_0^2} = -p, \quad -a_2 R^4 - kb_2 + 2c_0 R^2 = 0,$$

$$\frac{3}{2} \frac{b_2}{R_0^2} + \frac{d_4}{R_0^4} + \frac{a_2 R_0^2}{2} = 0, \quad -b_2 + \frac{ka_2}{3} R^4 - \frac{2}{3} \frac{d_4}{R^2} = 0.$$

Z równań tych możemy wyznaczyć sześć niewiadomych współczynników  $a_0, a_2, b_2, c_0, d_2$  i  $d_4$ .

Wartości tych współczynników są następujące:

$$a_0 = p \left( 1 - \frac{\frac{R^2}{R_0^2}}{\frac{2}{k-1} + \frac{R^2}{R_0^2}} \right), \quad a_2 = \frac{2p}{R_0^2 \left[ 1 - \frac{R^2}{R_0^2} + \frac{\left(1 + k \frac{R^6}{R_0^6}\right) \left(k + \frac{R^2}{R_0^2}\right)}{3 \frac{R^2}{R_0^2} \left(1 - \frac{R^2}{R_0^2}\right)} \right]}$$

$$b_2 = -a_2 \frac{R_0^4}{3} \frac{1 + k \frac{R^6}{R_0^6}}{1 - \frac{R^2}{R_0^2}}, \quad c_0 = -p + \frac{a_2 R_0^2}{2} - \frac{b_2}{2 R_0^2},$$

$$d_2 = \frac{p R^2}{\frac{2}{k-1} + \frac{R^2}{R_0^2}}, \quad d_4 = -\frac{3}{2} b_2 R_0^2 - \frac{a_2}{2} R_0^6.$$

Mając w ten sposób określone funkcje  $\Phi(\zeta)$ ,  $\Phi_1(\zeta_1)$  i  $F(\zeta)$  można z kolei określić ze wzorów (1) i (2) wartości naprężeń  $R_\theta$ ,  $R_r$  i  $\Theta_\theta$  w dowolnym punkcie pierścienia. Prowadzi to do następujących wzorów:

$$(9) \quad R_\theta = \frac{1}{2} \left( -c_0 + a_2 r^2 + \frac{b_2}{r^2} + \frac{d_4}{r^4} \right) \sin 2\theta,$$

$$(10) \quad R_r = \frac{1}{2} \left( c_0 + \frac{2b_2}{r^2} + \frac{d_4}{r^4} \right) \cos 2\theta + \frac{d_2}{2r^2} + \frac{a_0}{2},$$

$$(11) \quad \Theta_\theta = \frac{1}{2} \left( -c_0 + 2a_2 r^2 - \frac{d_4}{r^4} \right) \cos 2\theta - \frac{d_2}{2r^2} + \frac{a_0}{2}.$$

Za pomocą tych wzorów można określić (z pewnym przybliżeniem) stan naprężenia w jednokierunkowo rozciągającym pasmie z ośrodkiem sztywnym zarysu kołowego (rys. 2) wychodząc z założenia, że w rzeczywistości wpływ takiego ośrodka sztywnego na rozkład naprężeń w tarczy nieograniczonej znika w pewnym dostatecznie wielkim obszarze. Obszar ten został tutaj wyznaczony okółem koła o promieniu  $R_0$ .

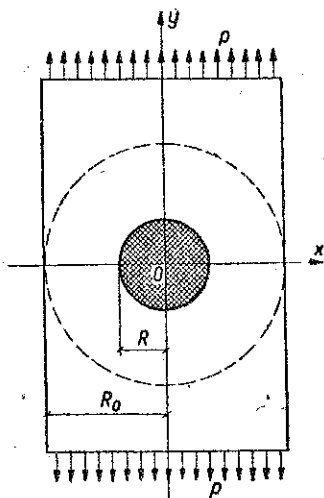
Jako drugi przykład zostanie rozpatrzony przypadek jednokierunkowego rozciągania pierścienia kołowego naprężeniami  $p$ , działającymi na zewnętrznym obwodzie koła o promieniu  $R_0$ , oraz naprężeniami  $q$ , działającymi na wewnętrznym obwodzie koła o promieniu  $R$  (rys. 3).

Zgodnie ze wzorem (4) można napisać dla zewnętrznego obwodu pierścienia

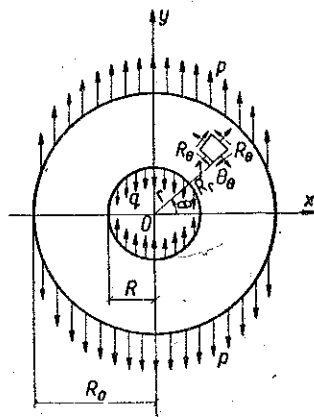
$$(12) \quad \frac{ip}{2} \left(1 - \frac{e^{2\xi}}{R_0^2}\right) = -\frac{i}{4} \Phi'(\zeta) + \frac{e^{2\xi}}{2R_0^2} F(\zeta) + \frac{i}{4} [\Phi(\zeta) + \Phi_1(\zeta_1)]$$

oraz dla wewnętrznego obwodu pierścienia odpowiednio

$$(13) \quad \frac{iq}{2} \left(1 - \frac{e^{2\xi}}{R^2}\right) = -\frac{i}{4} \Phi'(\zeta) + \frac{e^{2\xi}}{2R^2} F(\zeta) + \frac{i}{4} [\Phi(\zeta) + \Phi_1(\zeta_1)].$$



Rys. 2



Rys. 3

Ponieważ w rozpatrywanym zagadnieniu funkcje  $\Phi(\zeta)$  i  $F(\zeta)$  są holomorficzne w obszarze pierścienia, zatem można je przyjąć, ogólnie rzecz biorąc, w postaci szeregów Laurenta.

Jak wskazują obliczenia wstępne, funkcje te należy przyjąć, podobnie jak to miało miejsce w zagadnieniu rozpatrzonym poprzednio w postaci szczególnej

$$(14) \quad \Phi(\zeta) = m + a e^{2\xi} + \beta e^{-2\xi},$$

$$(15) \quad \Phi_1(\zeta_1) = m + a e^{2\xi_1} + \beta e^{-2\xi_1},$$

$$(16) \quad F(\zeta) = in + iy e^{-2\xi} + id e^{-4\xi},$$

gdź pozostałe współczynniki szeregów Laurenta przybierają wartości zerowe.

Z kolei wprowadzając do wzorów (12) i (13) wyrażenia (14), (15) i (16) znajdziemy

$$\frac{ip}{2} \left(1 - \frac{e^{2\zeta}}{R_0^2}\right) = -\frac{i}{2} (a e^{2\zeta} - \beta e^{-2\zeta}) + \frac{i e^{2\zeta}}{2R_0^2} (n + \gamma e^{-2\zeta} + \delta e^{-4\zeta}) + \\ + \frac{i}{4} [2m + a(e^{2\zeta} + e^{2\zeta_1}) + \beta(e^{-2\zeta} + e^{-2\zeta_1})],$$

$$\frac{iq}{2} \left(1 - \frac{e^{2\zeta}}{R^2}\right) = -\frac{i}{2} (a e^{2\zeta} - \beta e^{-2\zeta}) + \frac{i e^{2\zeta}}{2R^2} (n + \gamma e^{-2\zeta} + \delta e^{-4\zeta}) + \\ + \frac{i}{4} [2m + a(e^{2\zeta} + e^{2\zeta_1}) + \beta(e^{-2\zeta} + e^{-2\zeta_1})].$$

Stąd otrzymujemy układ sześciu równań dla wyznaczenia sześciu niewiadomych współczynników  $m$ ,  $a$ ,  $\beta$ ,  $n$ ,  $\gamma$  oraz  $\delta$ :

$$\begin{aligned} \frac{\gamma}{R_0^2} + m &= p, & \frac{\beta}{2R_0^2} + n - \frac{\alpha R_0^2}{2} &= -p, \\ \alpha R_0^2 + \frac{3\beta}{R_0^2} + \frac{2\delta}{R_0^4} &= 0, & \frac{\gamma}{R^2} + m &= q, \\ \frac{\beta}{2R^2} + n - \frac{\alpha R^2}{2} &= -q, & \alpha R^2 + \frac{3\beta}{R^2} + \frac{2\delta}{R^4} &= 0. \end{aligned}$$

Wartości tych współczynników są następujące:

$$\begin{aligned} m &= p + \frac{p-q}{\frac{R_0^2}{R^2} - 1}, & a &= \frac{6(p-q)}{R^2} \frac{\frac{R_0^2}{R^2}}{1 - \frac{R_0^6}{R^6} - 3 \frac{R_0^2}{R^2} \left(1 - \frac{R_0^2}{R^2}\right)}, \\ \beta &= -\frac{\alpha R^4}{3} \frac{\frac{R_0^6}{R^6} - 1}{\frac{R_0^2}{R^2} - 1}, & n &= -p + \frac{\alpha R_0^2}{2} - \frac{\beta}{2R_0^2}, \\ \gamma &= \frac{p-q}{\frac{1}{R_0^2} - \frac{1}{R^2}}, & \delta &= -\frac{\alpha R_0^6}{2} - \frac{3\beta R_0^2}{2}. \end{aligned}$$

Mając w ten sposób oznaczone współczynniki występujące w funkcjach (14), (15) i (16) można ostatecznie określić ze wzorów (1) i (2) wartości naprężeń  $R_\theta$ ,  $R_r$  i  $\Theta_\theta$  w dowolnym punkcie obszaru pierścieniowego w następującej postaci:

$$R_\theta = \frac{1}{2} \left( -n + \alpha r^2 + \frac{\beta}{r^2} + \frac{\delta}{r^4} \right) \sin 2\theta,$$

$$R_r = \frac{1}{2} \left( \frac{2\beta}{r^2} + \frac{\delta}{r^4} + n \right) \cos 2\Theta + \frac{\gamma}{2r^2} + \frac{m}{2},$$

$$\Theta_\Theta = \frac{1}{2} \left( 2\alpha r^2 - \frac{\delta}{r^4} - n \right) \cos 2\Theta - \frac{\gamma}{2r^2} + \frac{m}{2}.$$

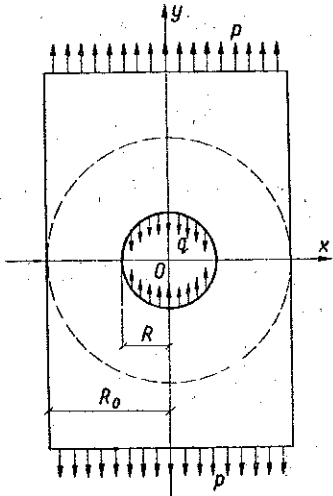


Рис. 4

Повы́ше wzоры подобне zресzтą jак w upреднio rozpatrzonym zagadnieniu umozliwiają również w pewnym przybliżeniu określenie stanu naprężenia w pasmie jednokierunkowo rozciągany z otworem kołowym, obciążonym na obwodzie naprężeniami działającymi w tym samym kierunku (rys. 4). I w tym przypadku przyjmiemy założenie, że wpływ otworu oraz jego obciążenia znikają w pewnym dostatecznie wielkim obszarze tarczy nieograniczonej. Obszar ten został objęty okręgiem koła o promieniu  $R_0$ .

#### Резюме

#### ОДНОСТОРОННЕЕ РАСТЯЖЕНИЕ КРУГОВОГО КОЛЬЦА

Вопросы, касающиеся определения напряжений и перемещений в круговом кольце, по сравнению с проблемой бесконечной плоскости с отверстием, в общем более сложны. Однако, в некоторых особых случаях и этого рода задачи могут решаться довольно просто. В качестве примера рассматривается одностороннее растяжение кругового кольца с жесткой круговой шайбой (рис. 1); на внешней окружности радиусом в  $R_0$  растягивающие напряжения  $p$  расположены равномерно вдоль диаметра.

Затем, в качестве второго примера, рассматривается случай одностороннего растяжения кругового кольца напряжениями  $p$ , действующими на внешней окружности радиусом в  $R_0$ , а также напряжениями  $q$ , действующими на внутренней окружности радиусом  $R$  (рис. 3).

Полученные формулы, определяющие значения напряжений  $R_\Theta$ ,  $R_r$  и  $\Theta_\Theta$  дают возможность, с некоторым приближением, определять напряжения в односторонне растягиваемой полосе (рис. 2 и 4), исходя из предположения, что, в действительности, влияние жесткой шайбы или отверстия на распределение напряжений в бесконечной плоскости исчезает в некоторой, достаточно удаленной зоне. Последняя в описанных случаях, ограничена окружностью радиусом  $R_0$ .

## S u m m a r y

### ONE-DIRECTIONAL TENSION OF A CIRCULAR RING

Problems concerning the determination of stress of strain in a circular ring are, in general, more complicated than analogous problems for an infinite plate with a hole. However, these problems can be solved in some cases in a relatively simple manner. As an example the problem of one-directional tension of a circular ring is considered having a rigid circular inclusion (Fig. 1), and subjected to a tensile load  $p$  acting on the periphery of the circle of radius  $R_0$  and uniformly distributed along the diameter.

The second example is furnished by the problem of one-directional tension of a circular ring by a load  $p$  acting on the outer circle, of radius  $R_0$ , and a load  $q$  acting on the inner circle, of radius  $R$  (Fig. 3).

The equations obtained, determining the values of the stresses  $R_\theta$ ,  $R_r$ ,  $\theta_\theta$ , enable also an approximate determination of the stresses in a strip subjected to tension (Figs. 2 and 4), starting from the assumption that the influence of a rigid inclusion or a hole on stress distribution in an infinite plate becomes insignificant beyond a certain region, sufficiently large and bounded in our case by a circle of radius  $R_0$ .

*Praca została złożona w Redakcji dnia 4 listopada 1954 r.*